

Математическая модель трансформации плоского вихревого течения в пространственное

22 марта 2017

Исполнитель и докладчик:

Соискатель кафедры Летательных Аппаратов

Кривоногов А. А.

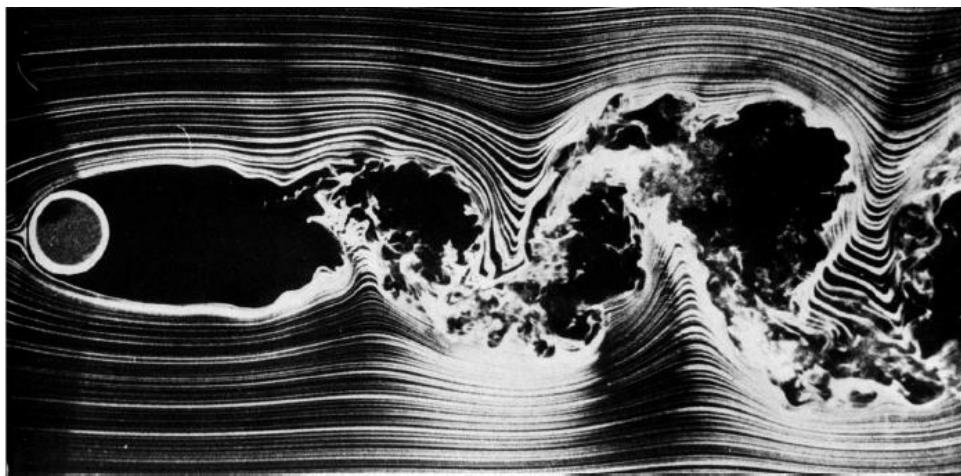
Научный руководитель:

Д.т.н. профессор кафедры Летательных Аппаратов

Карташев А. Л.

ЮУрГУ, Аэрокосмический факультет

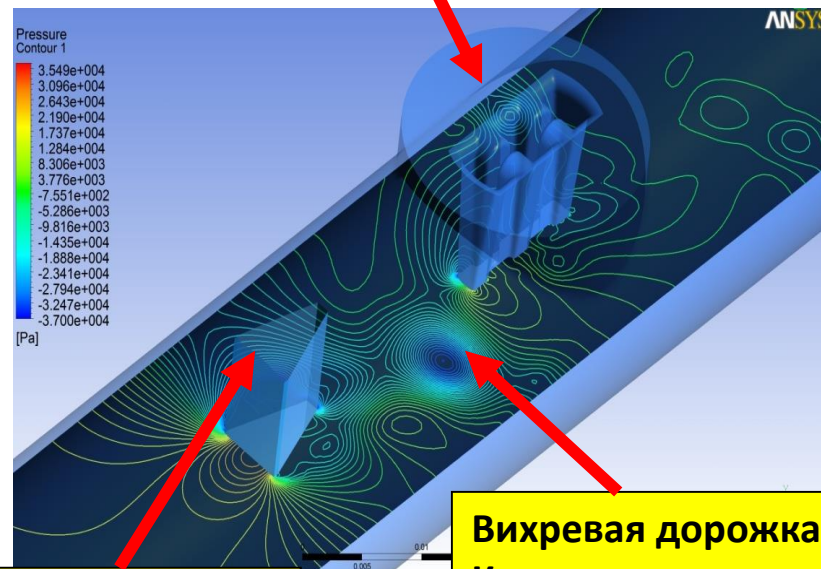
Принцип работы Вихревого расходомера



Проточная часть
вихревого расходомера

Вихревая дорожка
Кармана за круглым
цилиндром

Сенсор вихрей



Тело обтекания

Вихревая дорожка
Кармана

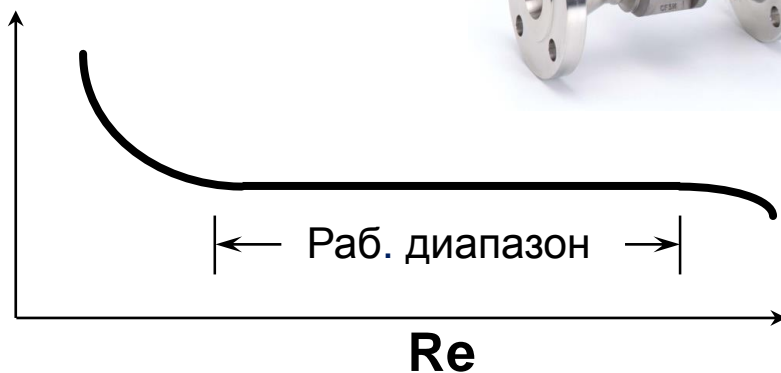
Основные рабочие параметры

Sh

Число Струхала – критерий подобия колебательных течений жидкостей и газов

$$Sh = \frac{f_v * L}{V}$$

Sh



Re

Число Рейнольдса характеризует параметры потока

$$Re = \frac{\rho \times V \times D}{\eta}$$

K_F

Коэффициент характеризует зависимость числа импульсов от Измеренного расхода

$$Q = \frac{N_{puls}}{K_F}$$

Расчет параметров вихревого расходомера и определение его оптимальных геометрических, и рабочих характеристик представляет собой одну из важнейших задач, решаемых при проектировании расходомерного устройства ₃

Проблема моделирования

Основная цель моделирования – определение оптимальной формы проточной части в соответствии с оптимизационными критериями.

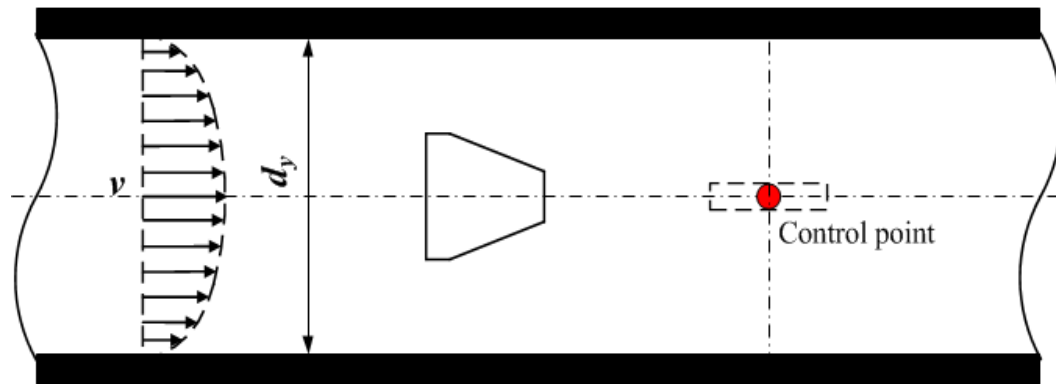
Основная проблема при моделировании – **БОЛЬШИЕ ВРЕМЕННЫЕ ЗАТРАТЫ**



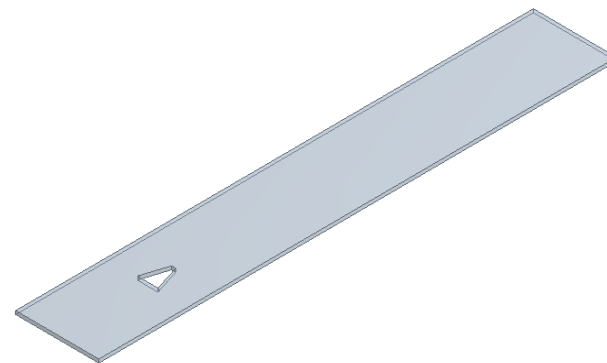
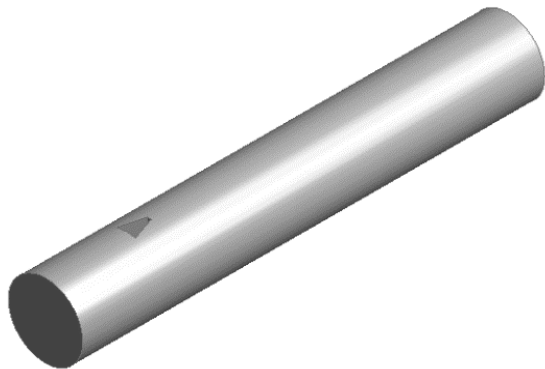
Пути решения:

- Упрощение конечно - элементной модели
- Использование алгоритмов ускоряющих процесс оптимизации
- Сокращение времени моделирования за счет применения новых алгоритмов обработки периодического сигнала

Описание численной модели



Проточная часть Rosemount 8600 без чувствительного элемента



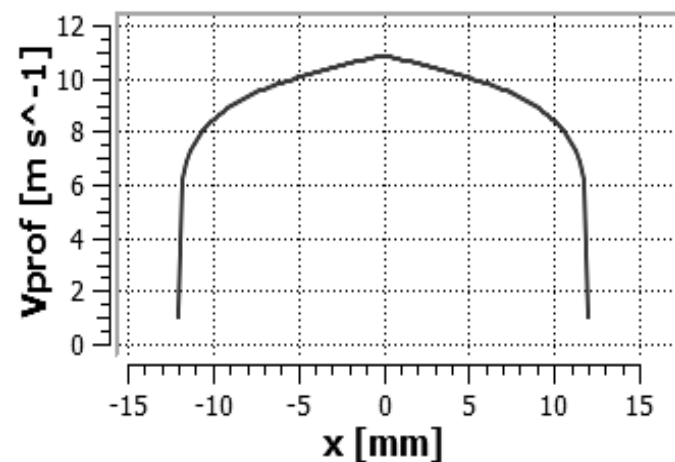
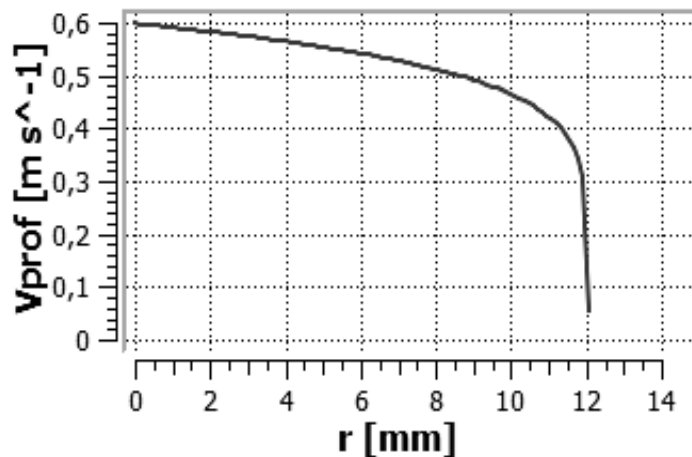
Плоская и трехмерная КЭ модели

Описание расчетной модели в ANSYS CFX

- Шаг по времени задавался по числу Куранта =1
- Режим нестационарный.
- Рабочая среда – вода, воздух (температура 25°C, давление 1 атм).
- Модель турбулентности k-ε, модель теплопередачи изотермическая
- Профиль скорости описывается при помощи логарифмической функции от радиуса для 3D и от оси для плоского :

$$V_{prof} = V_{max} \cdot \left| 1 - \frac{r}{R_{max}} \right|^{0.143}$$

$$V_{prof} = V_{max} \cdot \left(1 - \left| \frac{x}{X_{max}} \right| \right)^{0.143}$$



Вычислительный алгоритм связывающий плоскую и трехмерную математические модели

Существо вычислительного алгоритма заключается в следующем:

Даны значения временного ряда $P(t)$, имеющего периодические составляющие, в равноотстоящих узлах $t_1 \dots t_n$. Данный ряд описывает изменение статического давления в точке мониторинга, ряд рассматривается, начиная с некоторого момента времени расчета, после завершения переходного процесса от начальных условий расчета и установления периодических колебаний в точках мониторинга.

Далее выполняется аппроксимация временного ряда $P(t)$ непрерывной функцией $p(t)$ вида:

$$p(t) = A_0 + \sum_{i=1}^k A_i \cos(2\pi f_i t + \varphi_i)$$

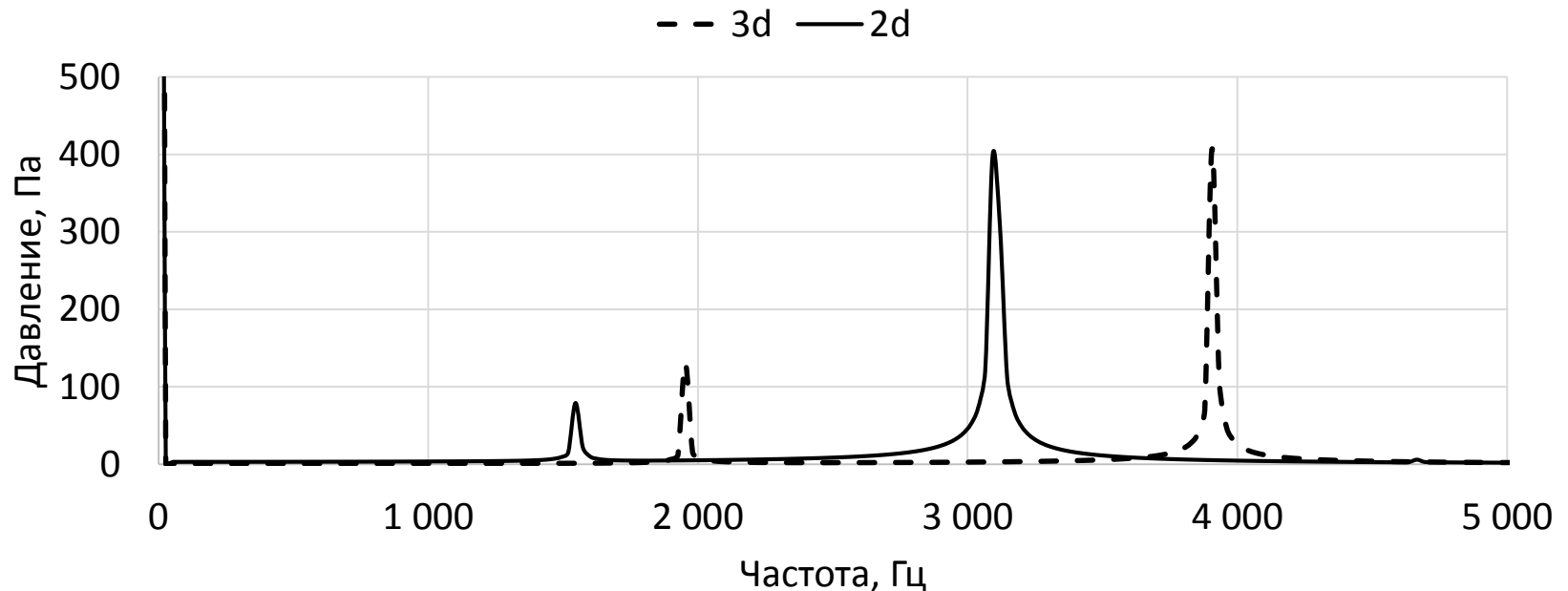
Где A_0 – постоянная составляющая сигнала; A_i, f_i, φ_i – амплитуда, частота и фаза i – ой гармоники, k – число гармонических составляющих.

Аппроксимация проводится в 2 этапа

Вычислительный алгоритм связывающий плоскую и трехмерную математические модели

Первый Этап

Ограничивается число гармоник k , отбрасываются гармонические составляющие, амплитуда которых не превышает заданного порога от максимальной амплитуды имеющихся гармоник.

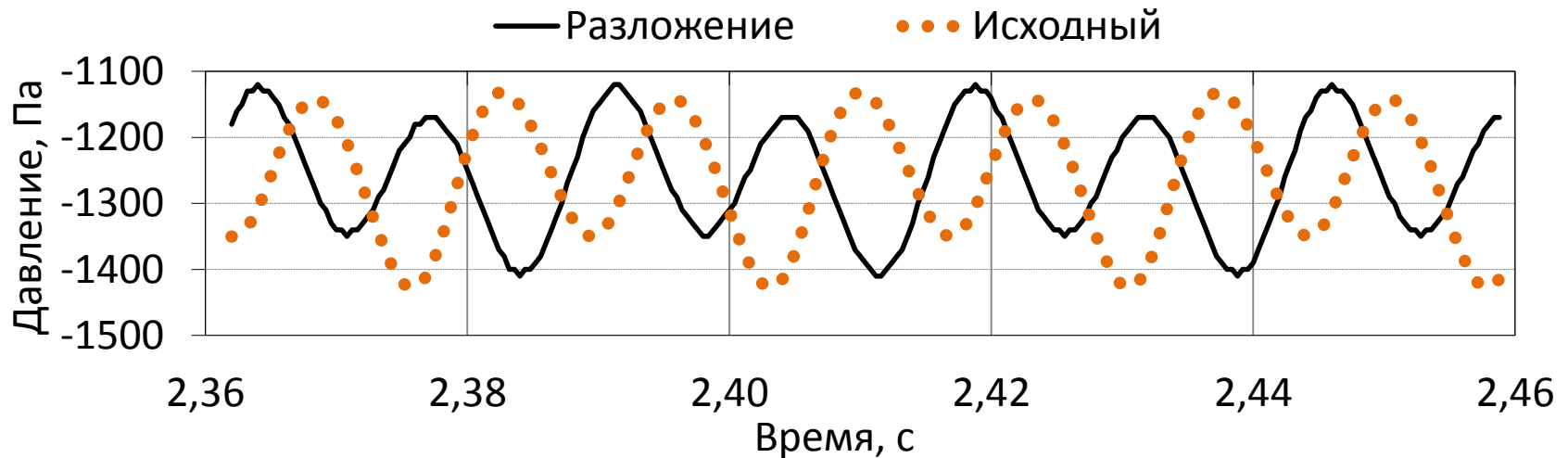


Спектр пульсаций давления вихрей в точке

Вычислительный алгоритм связывающий плоскую и трехмерную математические модели

Второй этап

При восстановлении по оставшимся гармоникам сигнал отличается от исходного, так как рассматривается не полный диапазон



Результат восстановления сигнала по двум гармоникам после БПФ

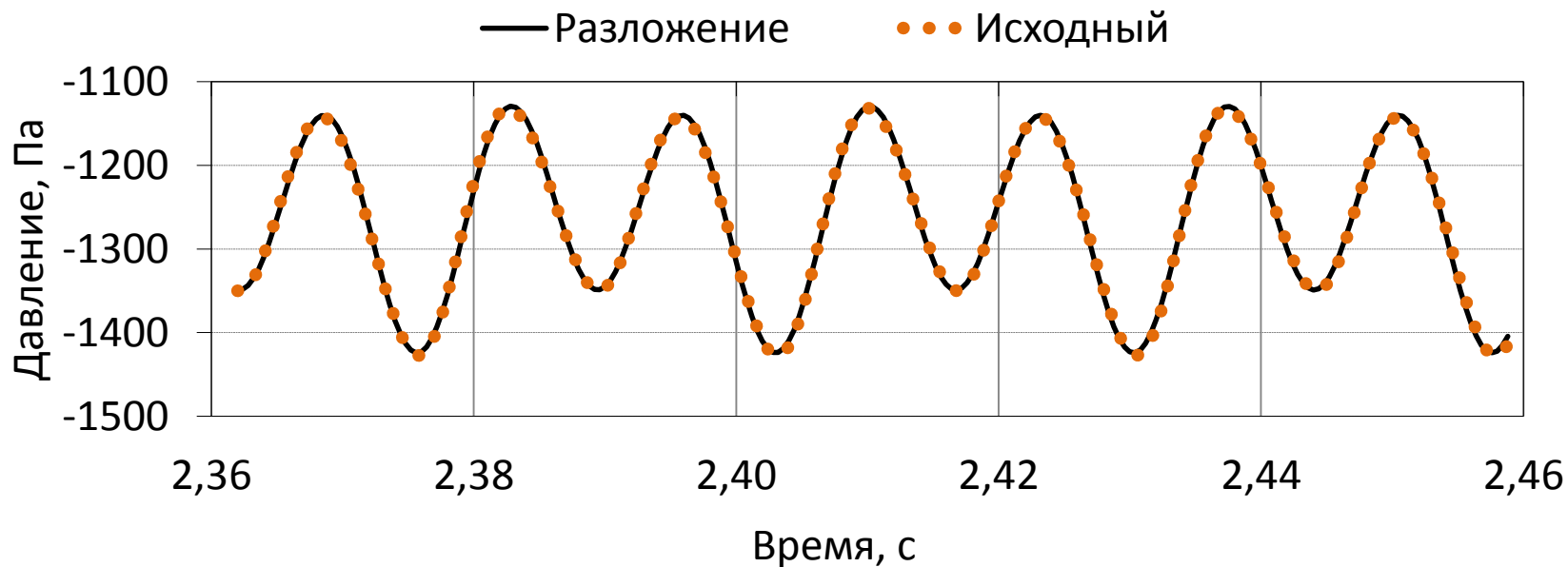
Коэффициенты A_i , f_i , φ_i принимаются за параметры регрессии и вычисляются методом наименьших квадратов. Будем считать, что $p(t)$ построена при условии наилучшего квадратичного приближения, для чего найдем минимум функции:

$$\sum_{j=1}^n (P(t_j) - p(t_j, A_i, f_i, \varphi_i))^2 \rightarrow \min_{A_i, f_i, \varphi_i}$$

Вычислительный алгоритм связывающий плоскую и трехмерную математические модели

Задача минимизации решается методом Ньютона, с использованием значений A_i , f_i , φ_i , полученных методом БПФ на первом этапе работы математической модели в качестве начального приближения.

В результате работы математической модели определяем значения амплитуды, частоты и фазы зависимости (сигнала) давления от времени $(A_i, f_i, \varphi_i)_{2D}$, полученные в результате 2D моделирования.



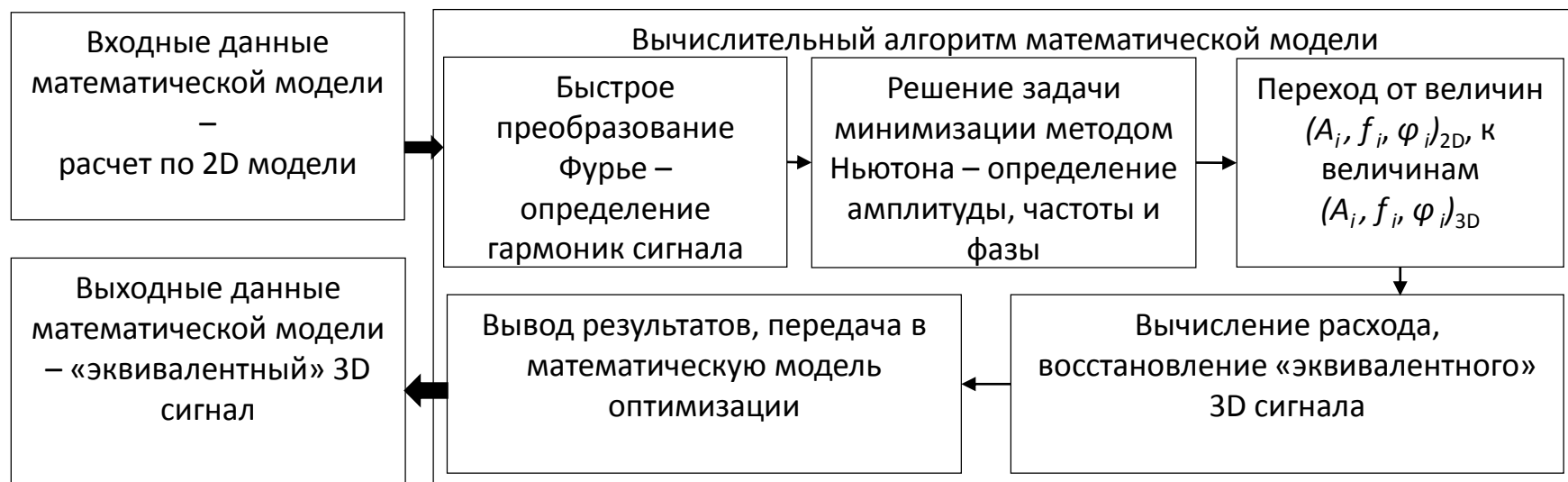
Результат после обработки методом минимизации Ньютона

Вычислительный алгоритм связывающий плоскую и трехмерную математические модели

Третий этап. Переход от величин $(A_i, f_i, \varphi_i)_{2D}$, полученных в результате 2D моделирования, к величинам $(A_i, f_i, \varphi_i)_{3D}$, соответствующим «эквивалентному» сигналу, моделирующему сигнал, получающийся в результате 3D моделирования.

Четвертый этап. Вычисление расхода по значениям частоты либо полное восстановление эквивалентного сигнала по формуле.

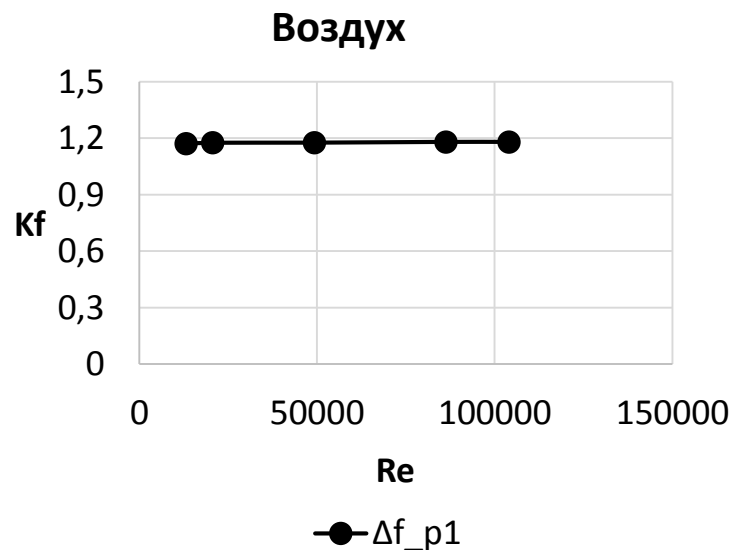
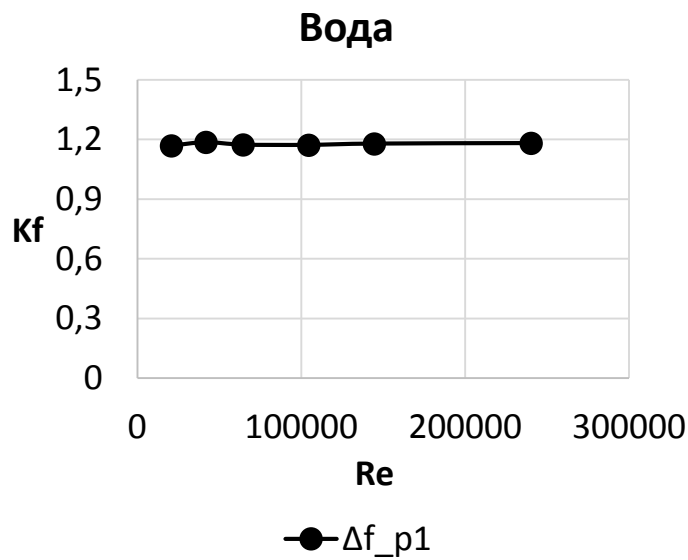
Пятый этап. Вывод результатов, полученных по математической модели, передача их в математическую модель оптимизации проточной части вихревого расходомера.



Определение функциональных зависимостей и коэффициентов математической модели

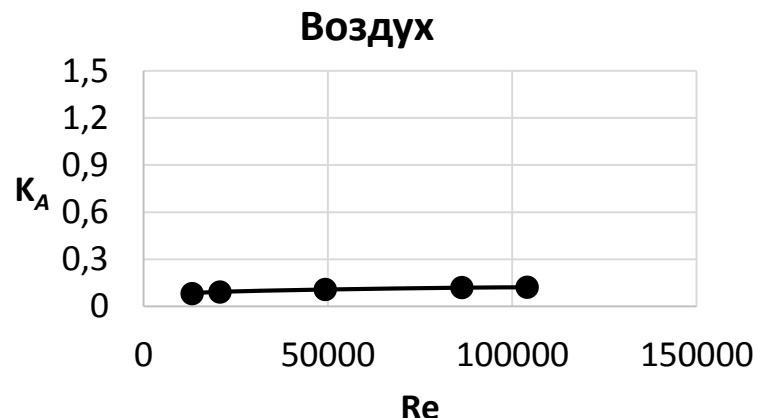
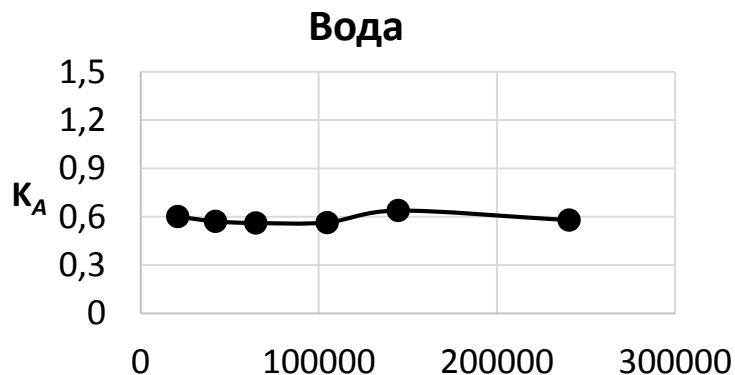
Переход от величин $(A_i, f_i, \varphi_i)_{2D}$, полученных в результате 2D моделирования, к величинам $(A_i, f_i, \varphi_i)_{3D}$, соответствующим «эквивалентному» сигналу, производится с помощью функциональных зависимостей и коэффициентов математической модели, связывающей 3D и 2D модели проточного тракта.

$$K_f = \frac{f_{3D}}{f_{2D}}; K_A = \frac{f_{3D}}{f_{2D}}; K_\varphi = \frac{f_{3D}}{f_{2D}}$$



$$(f_i)_{3D} = K_f (f_i)_{2D}$$

Определение функциональных зависимостей и коэффициентов математической модели

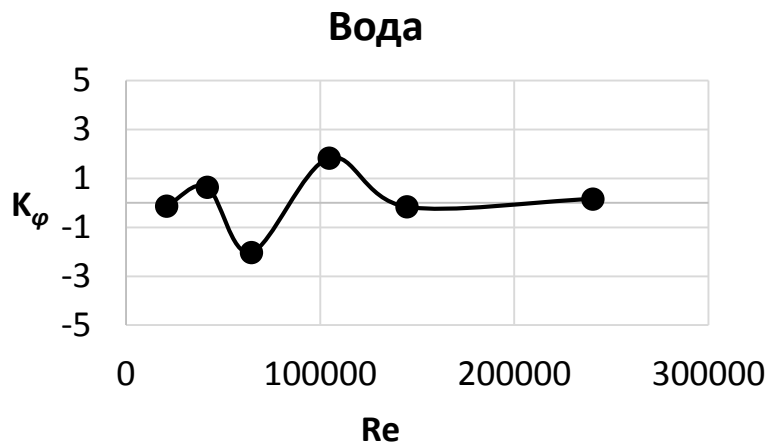


Re
● ΔA_{p1}

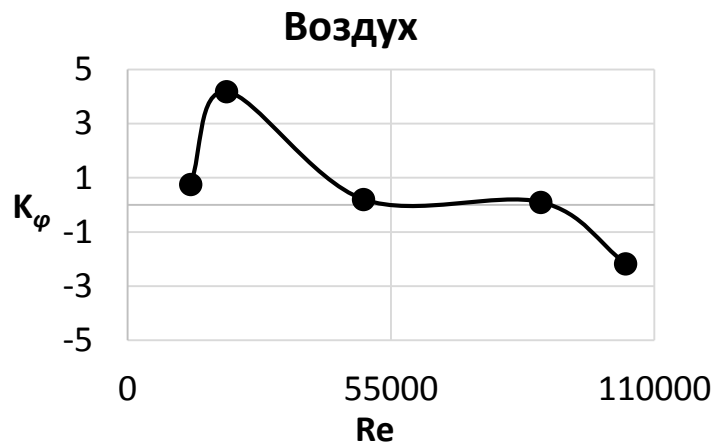
$$(A_i)_{3D} = K_A (A_i)_{2D},$$

Re
● ΔA_{p1}

Зависимость амплитуды вихреобразования



● $\Delta \phi_{p1}$

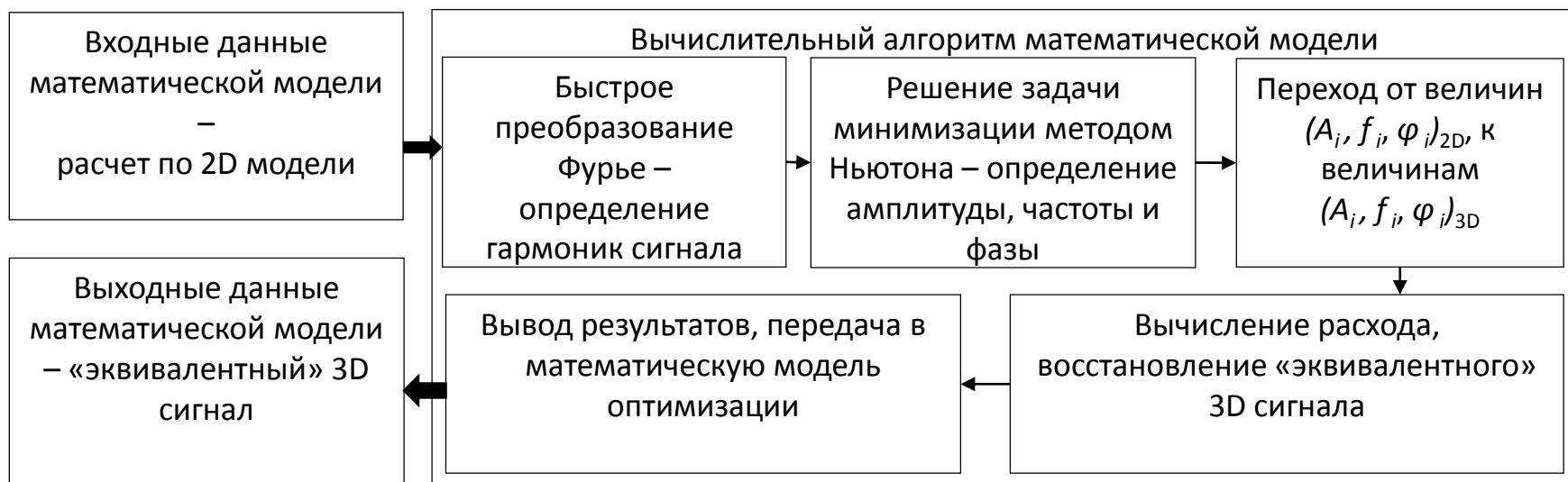


● $\Delta \phi_{p1}$

Зависимость фазы вихреобразования

Выводы

Благодаря использованию метода трансформации возможно, с высокой точностью восстановить частоту из двумерного сигнала в эквивалентный трехмерный при помощи линейной функциональной зависимости. Так как частота является определяющим параметром при измерении расхода, то это является достаточным условием для применимости данного алгоритма при оптимизации.



Вопросы
